

Maden yataklarının deęerlendirilmesinde geliřtirilmiř yöntemler: halka ayrışım yöntemi ve uygulaması

Improved methods for ore deposit evaluation: ring decomposition method and its application

Cem SARAÇ, Sermin KÖÇEK, Arzu Giray YURDAGÜL

OZ

Bu çalışmada maden yataklarının deęerlendirilmesinde kullanılan jeostatistiksel simülasyon yöntemlerinden "alt ve üst üçgensel matris ayrışım teknięi" ayrıntılı olarak anlatılmaktadır. Kovaryans matrisinin üçgensel analizini kullanarak, orta boyottaki gridler üzerinde hızlı bir şekilde kořullu simülasyonu gerçekteřiren alt ve üst üçgensel matris teknięinin algoritmasının büyük boyutlu gridler üzerinde simülasyonu saęlayamadıęı gösterilmektedir.

Çalışmada bu yöntem alternatif olarak geliřtirilen ve halka, ayrışım teknięi adı verilen matris analizi alternatif olarak sunulmakta ve önerilen yeni teknik büyük boyutlu gridler üzerinde kullanılabilir. Geliřtirilen yeni yöntemin matematiksel temeli verildikten sonra her iki yöntemle iliřkin kořullu simülasyon uygulamaları sunulmaktadır. İlk önce yöntemleri birbirleriyle karřılařtırmak amacıyla 400 x 400 kovaryans matrisinden oluřan simülasyon uygulaması alt/üst üçgensel matris teknięi ve halka, ayrışım teknięi kullanarak çözülmekte, ardından da alt/üst üçgensel matris teknięiyle ayrıştınlamayacak boyutlarda olan 1500 x 1500 kovaryans matrisinden oluřan simülasyon., önerilen halka ayrışım teknięiyle çözülmektedir.

Analılar kelimeler: Halka ayrışım yöntemi, Jeostatistiksel simülasyon, Kovaryans, Maden yatakları

EXTENDED ABSTRACT

Ore deposit evaluation techniques by geostatistical simulation were first introduced some 25 years ago,, it has not fulfilled its promise as a major tool in the earthsciences. This has been largely due to two main reasons; there are some shortcomings in the method which, although recognized early on by some practitioners,, have been slow to be acknowledged and rectified, and alternatively wide usage of kriging methods (there is although a big difference between kriging and simulation). A survey of geostatistical simulation methods is given in Dowd (1992). Amongst proposed methods is Davis" (1987a) LU (lower and upper) decomposition method and related matrix- polynomial approximation method (Davis,, 1987b). The LU-matrix (lower and. upper) decomposition method of conditional simulation allows fast generation of stochastic processes on small-moderate sized, grids. The method is simple and based on the LU triangular decomposition of the matrix of covariances between data, locations and simulation grid, locations (Davis, 1987a; Alabert,, 1987).. Covariances matrices are symmetric and positive-definite and therefore can be decomposed into the product of a lower and an upper triangular matrix.,

The advantages of the LU method are that it is simple to implement, performs conditioning simultaneously with simulation, is not limited to particular forms of covariance functions and handles anisotropies.,. The main drawback of this method is the amount of storage required which, at least in its general form as presented,, effectively limits its application to less than 1000 grid locations. When there are many data, or when there is a large number of points on which values are to be simulated, the corresponding large matrices cannot be handled by classical decomposition algorithms.

This paper shows how ring decomposition can be used to extend the use of LU decomposition to larger simulations. Ring decomposition can be applied to reduce significantly this memory-size problem, and therefore proposed method can be used for large grid locations. After introducing the mathematical background of ring decomposition method, conditional simulation applications using lower-upper and ring decomposition methods are presented in the study. For the purpose of providing a comparison, simulations on 400x 400 covariance matrix were performed using both LU decomposition and ring decomposition. The results are shown in Figures 1 and 2. The both methods yield satisfactory simulations. Finally a 1500x 1500 covariance matrix which is too large for LU decomposition method is solved by ring decomposition and the result is given in Figure 3.

Key words : Covariance, Geostatistical simulation, Ore deposits, Ring decomposition method

GİRİŞ

Jeoistatistiksel simülasyon yöntemleri kullanılarak maden yataklarının değerlendirilmesi yaklaşık olarak 25 yıl önce ortaya konulmasına rağmen, yer-bilimlerdeki uygulamalarında henüz tam olarak çok güçlü bir araç olarak yaygın olarak kullanılmamaktadır. Bunun başlıca iki önemli nedeni bulunmaktadır. Bunlardan birincisi, jeoistatistiksel simülasyon yöntemlerinde görülen çeşitli eksikliklerin oldukça yavaş olarak düzeltilmesi ve ikincisi ise jeoistatistiksel kriging yöntemlerinin alternatif olarak (simülasyon ve kriging arasında büyük farklılıklar bulunmasına rağmen) daha yaygın olarak kullanılmasıdır. Özellikle geçtiğimiz 10 yıl boyunca jeoistatistiksel simülasyon yöntemlerinin geliştirilmesinde çok önemli gelişmeler kaydedilmiştir. Journel ve Alabert (1989, 1990) İn geliştirdikleri, ardışıklı simülasyon (sequential simulation) yöntemi, indikatör simülasyon yöntemi (Suro-Perez and Journel, 1990; Gomez-Hernandez and Srivastava, 1990) bunlara örnek olarak verilebilir. Bu yöntemlerin en önemlilerinden bir tanesi de Davis (1987a) ve Alabert (1987) tarafından geliştirilen "alt ve üst üçgensel matris ayrışım yöntemi" (AÜM) dir. Basit bir tekniği olan AÜM analiz yöntemi, maden yatağındaki veri lokasyonları ile simülasyon grid lokasyonları arasında kovaryans matrisinin üçgensel analizi üzerine kurulmuştur.

AÜM yönteminin en büyük avantajı uygulanmasının basit olması, koşullandırmayı simülasyonla birlikte simültane olarak gerçekleştirmesi, ayrıca kovaryans fonksiyonlarının ve kullanılan anizotropilerin özel yapılarıyla sınırlı olmamasıdır. Ancak uygulamalarda bu yöntem simülasyon sonuçlarını depola-

ma, ve zaman sorunu nedenleriyle- sınırlıdır ve bundan dolayı da. ancak küçük ve orta boyuttaki gridlere uygulanabilmektedir (Deutsch and Journel, 1998)..

Çalışmada, ilk olarak AÜM analizi ile koşullu ve koşulsuz simülasyon incelenmiş; ardından "halka ayrışım, yöntemi" (HAY) adı verilen yeni bir yaklaşım sunulmaktadır.

ALT VE ÜST ÜÇGENSEL MATRİS YÖNTE- MİYLE (AÜM) KOŞULSUZ SİMÜLASYON

Bir değişkenin rasgele değerlerde olduğu, grid noktaları setinin simüle edildiğini düşünelim. Bu değişkenin kovaryans matrisleri C (n x n boyutunda)' aşağıdaki gibi gösterilebilir:

$$j = \text{Kov} (Z_i Z_j) \quad (1)$$

Z_j yukarıda, örnek olarak verilen değişkendir. C'nin Cholesky algoritmasıyla alt ve üst olarak İM matrise ayrıldığını varsayarsak, C = AÜ (A: alt. matris; Ü: üst matris) şeklinde olacaktır. Buna göre w'nin rastlantısal bir vektör olduğu, düşünülerek, y vektörü aşağıdaki gibi tanımlanabilir:

$$y = Aw \quad (2)$$

y vektörüne benzer şekilde, rasgele değişken olan Y'nin tanımı:

$$\begin{aligned} \text{Kov}(Y) &= E[(Aw)(Aw)'] = E(Aww'Ü) \\ &= A Ü E (ww') \\ &= A Ü I = C \end{aligned} \quad (3)$$

olacaktır. Böylece y, Z'nin koşulsuz simülasyonu olacaktır.

ALT VE ÜST ÜÇGENSEL MATRİSYÖNTE-MİYLE (AÜM) KOŞULLU SİMÜLASYON

Koşullu veri (genellikle cevherleşmelerden gelen sondaj verileri) ve grid noktaları setinin simule edildiğini düşünürsek, bu sellere benzer olarak kovaryans matrisi $C_{vv}, C_{vri}, C_{iv}, C_{GG}$ olarak ayrılabilir:

$$\begin{aligned} C_{vv} &= r_v u' \\ C_{GV} &= C_{GG} I \end{aligned}$$

Yukarıda verilen matriste:

C_{vv} maden yatağındaki veri noktaları arasındaki kovaryans matrisi,

C_{GV} grid ve veri noktaları arasındaki kovaryans matrisi,

C_{GG} grid noktaları arasındaki kovaryans matrisidir.

C aynı zamanda alt ve üst matrislerine ayrılabilir,, bu durumda yukarıdaki ifade

$$I = \begin{bmatrix} C_{vv} & C_{VG} & I \\ C_{GV} & C_{GG} & / \end{bmatrix} \begin{bmatrix} A_{vv} & 0 \\ A_{GV} & A_{GG} \end{bmatrix} \begin{bmatrix} Ü_{vv} & Ü_{VG} \\ 0 & Ü_{GG} \end{bmatrix}$$

şeklinde yazılabilir ve bu ilişkiden aşağıdaM eşitlikler elde edilir:

$$v = w \quad \rightarrow \quad A_y \quad y \quad \wedge \quad v w$$

$$C_{yG} = A_{vv} U_{yG}$$

$$C_{GV} = A_{GV} U_{w}$$

$$Q_{JG} = A_{GV} U_{VG} + \wedge^{GG} U_{QG}$$

w_G rasgele vektör¹ ve w_v koşullu vektör ise w vektörü $\begin{bmatrix} W_v \\ W_G \end{bmatrix}$ olarak tanımlanacaktır.. Buna göre;

$$U_{vv} w_v = z_v \quad (4)$$

Yukarıdaki eşitlikte, z_v koşullu veriyi göstermektedir.

$$v; \quad ' \quad 1 = Ü_{vw} \text{ olarak, tanımlanabilin}$$

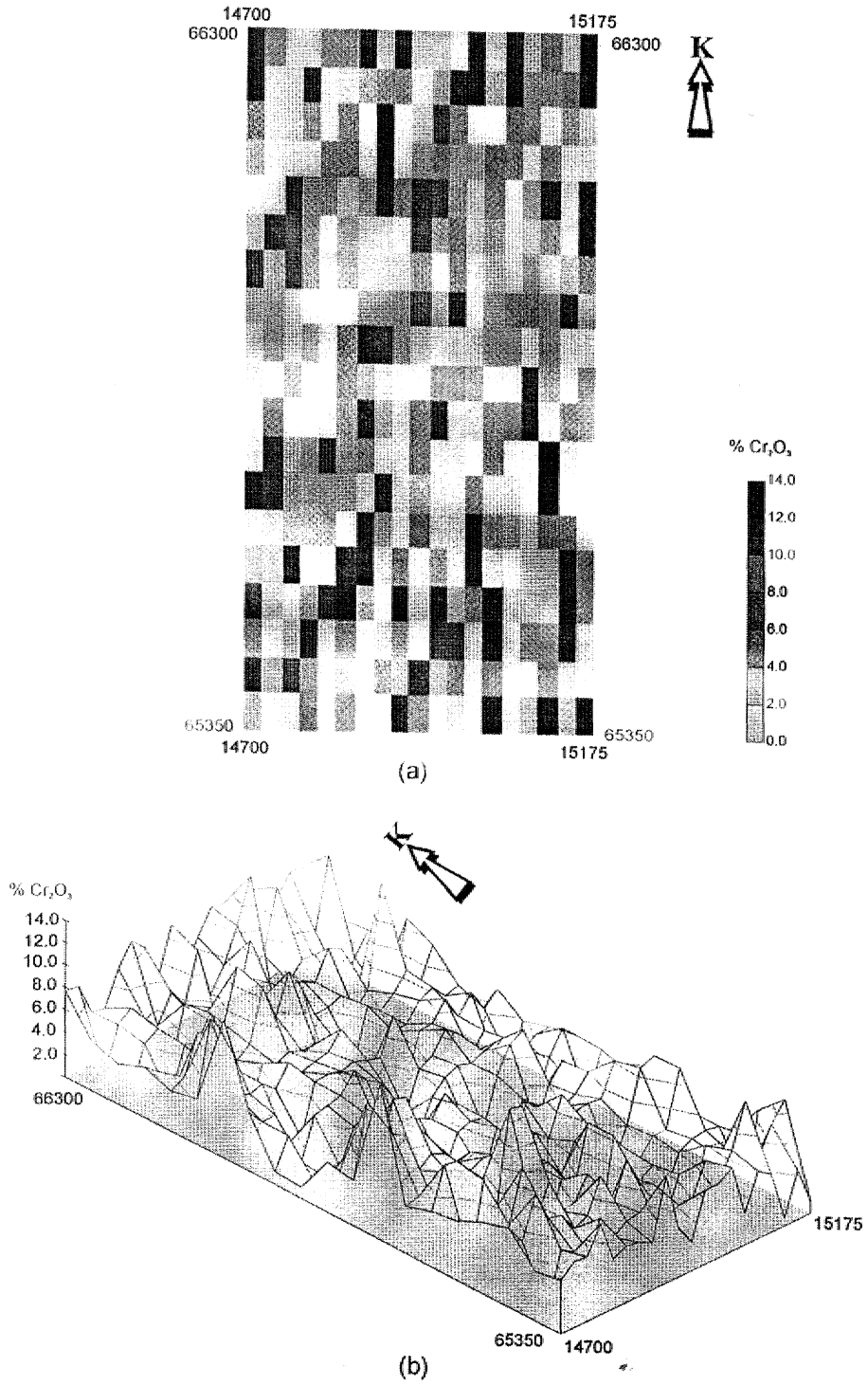
$$y_v = A_{vv} W_y = z_v$$

$$Y_G = \wedge^G V^* v + A_{GG} w_G$$

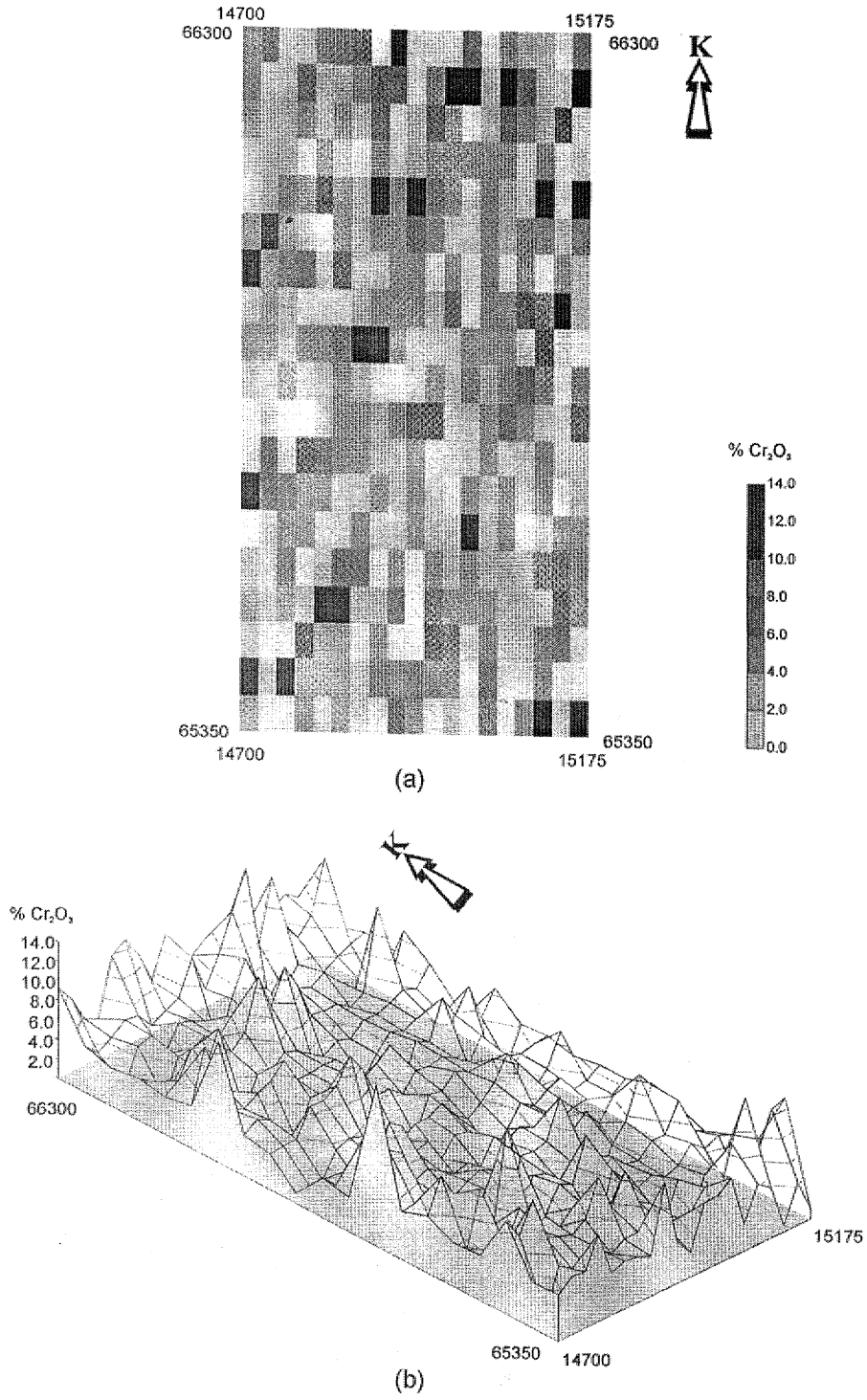
Sonuç olarak grid noktalarındaki değerlerin koşullu simülasyonu ;

$$Y_c = A_{GV} A_{yv} z_v + A_{QG} w_G \quad (5)$$

şeklinde: ifade edilebilecektir. 5 numaralı eşitlikte $A_{GV} A_w^{-1} z_v$ koşullu verileri sağlayan bir bileşen, $A_{QG} w_G$ ise çeşitli simülasyonların yapılmasına olanak tanıyan diğer bir bileşendir¹ ve simülasyonu sonuçlan da A_{GG}^* ye bağlı bulunmaktadır.



Şekil 11. AUM yöntemiyle cevherleşmenin--1050 metre katı için gerçekleştirilen koşullu simülasyon sonuçları (a): Teor blok dağılımı (b); Tenör değerlerinin blok diyagramı



Şekil 2. HAY yöntemiyle cevherleşmenin 1050 metre katı için gerçekleştirilen koşullu simülasyon sonuçları (a): Tenör blok dağılımı (b): Tenör değerlerinin blok diyagramı

Sonuç olarak grid noktalarındaki değerlerin koşullu simülasyonu;

$$y_G = A_{GV} A_{VV}^{-1} z_v + A_{GG}^{-1} G \quad (11)$$

eşitliği kullanılarak elde edilecektir..

Her bir n_y değeri için elde edilen AGG matrisi hesaplanırken aynı zamanda A_{GG} ve A_{VV}^{-1} matrisleri, de elde edilecektir. Yöntemde alt matrisler, iki veya üç boyutlu simülasyon hacminin herhangi bir alt bölümü için saptanabilir. Seçilen alt bölümler grid noktalarının kendine özgü üç boyutlu düzenine bağlı olacak, ve uygulamalarda simüle edilen değerlerin artan bir aralıkla birbirlerini tutması zorunluluğu da bulunmamaktadır ($n_y=1,2,3$). Ancak uygulamalarda yeterli alt bölümlerin seçilmesi önerilmektedir.,

UYGULAMA

AÜM yöntemi ve bu çalışmada önerilen HAY yönteminin uygulaması karşılaştırmalı olarak Karantı. Adana krom cevherleşmesine uygulanmıştır. Cevherleşme alanında., Saraç ve Tercan (199:2) tarafından rezerv ve tenor dağılım çalışması; Tercan ve Saraç (2000) tarafından da jeostatistiksel yöntemlerle jeolojik yapının, ve tenor değerlerinin değişimi incelenmiştir. Bu nedenlerden dolayı sondaj verilerine ilişkin bilgiler, cevherleşmeden elde edilen variogram değerleri ve model parametreleri, bu çalışmada verilmemiştir, ayrıntılı jeostatistiksel bilgiler yukarıdaki çalışmalardan edinilebilir..

Koşullu simülasyon krom cevherleşmesinin 1050 metre katı için gerçekleştirilmiş olup, x eksenine (doğu-batı doğrultusunda) boyunca 20 grid ve y eksenine (kuzey-güney doğrultusunda) boyunca 20 grid olmak üzere toplam 400 adet grid noktasında tenor değerlerinin simülasyonu yapılmıştır., Koşullandırma işlemi için cevherleşmeden elde edilen 289 veri değeri (% Cr_2O_3) kullanılmış ve grid boyutları x ekseninde 25

metre, y ekseninde 50 metre olarak alınmıştır. Buna göre x ekseninde 14700 m. ve 15175 m, arasında, y ekseninde 65350 m. ve 66300 m. arasındaki koordinatlarda 400 blok için tenor değerlerinin koşullu simülasyonu gerçekleştirilmiştir.

AÜM. yöntemi ile yapılan, koşullu simülasyon sonucu Şekil F de, HAY yöntemi ile yapılan koşullu simülasyon sonucu da Şekil 2'de sunulmaktadır. Her iki şekilden de görüldüğü gibi yöntemler birbirleriyle oldukça uyumlu sonuçlar vermişlerdir.. Ancak uygulamada 400 adet simülasyon sonucu yerine 1000 adet ya da daha büyük bir sayıda çözüm istenilseydi., AÜM yöntemi buna yanıt veremeyecektir.. Örnek olarak., cevherleşmede x eksenine boyunca 10 metre aralıklı .50 adet grid noktasındaki ve y eksenine boyunca da 35 metre aralıklı 30 adet grid noktasındaki tenor değerlerinin simülasyonu (toplam 1500 blokta Cr_2O_3 değeri) bu çalışmada önerilen HAY yöntemi ile aşağıdaki şekilde gerçekleştirilebilir.

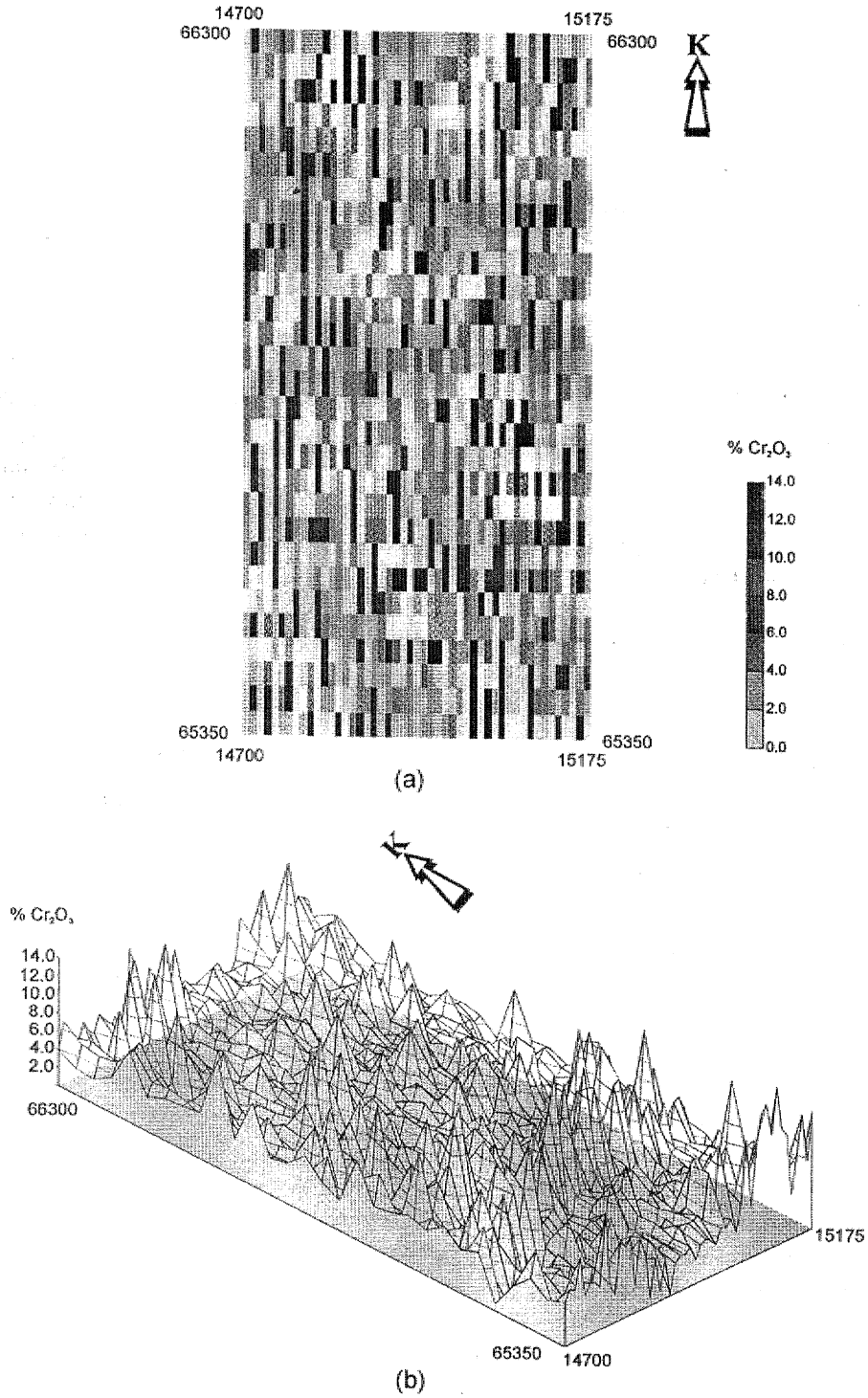
$$C = \begin{pmatrix} C_{VV} & C_{VG} \\ C_{GV} & C_{GG} \end{pmatrix} \quad (12)$$

Bu uygulamada 1500 x 1500 *lük bir kovaryans matrisi olan C_{GG} , AÜM yöntemi için oldukça geniş bir matristir.. Bu nedenle istenilen simülasyon. halka ayoşumyla n_y 'nin herbir değeri için tanımlanan alt matrislerle çözülebilir..

$$C_{GG} = \begin{pmatrix} C_1 & C_2 & C_3 \\ C_4 & C_5 & C_6 \\ C_7 & C_8 & C_9 \end{pmatrix} \quad (13)$$

Her alt matris 500×500 ($n_x \times n_x$)*lük bir boyuta sahiptir ve 3×3 ($n_y \times n_y$) alt matrislerine, ayrılarak, halka teorininin blok analiz tekniğini, uygulanmış ve C_{GG} aşağıdaki şekilde: tanımlanmıştır;

$$C(3G) = \begin{pmatrix} C_{GG} & C_{GG} \\ C_{GG} & C_{GG} \end{pmatrix} \quad (14)$$



Şekil 3. HAY yöntemiyle cevherleşmenin 10.50 metre katı için 1500 adet grid lokasyonu için gerçekleştirilen koşullu simülasyon sonuçları (a): Tenör blok dağılımı (b): Tenör değerlerinin blok diyagramı

Yukarıdaki eşitlikte (1.4 numaralı) e birim kareleri birbirine eşit olan matrisi simgelemektedir, $e_e = (1,0,0)$; $e_2 = (0,1,0)$ ve $e_3 = (0,0,1)$ 'dir.

$$C_{GG} = \begin{pmatrix} C_1 C_2 C_3 \\ 0 & 0 & 0 \\ 0 & 0 & 0 \end{pmatrix} + \begin{pmatrix} 0 & 0 & 0 \\ C_4 C_5 C_6 \\ 0 & 0 & 0 \end{pmatrix} + \begin{pmatrix} 0 & 0 & 0 \\ 0 & 0 & 0 \\ C_7 C_8 C_9 \end{pmatrix}$$

$$\begin{pmatrix} C_1 C_2 C_3 \\ 0 & 0 & 0 \\ 0 & 0 & 0 \end{pmatrix} = \begin{pmatrix} A_1 & 0 & 0 \\ 0 & 0 & 0 \\ 0 & 0 & 0 \end{pmatrix} \begin{pmatrix} \bar{U}_1 & A_1^T C_2 & A_1^T C_3 \\ 0 & 1 & 1 \\ 0 & 0 & 1 \end{pmatrix}$$

$$\begin{pmatrix} 0 & 0 & 0 \\ C_4 C_5 C_6 \\ 0 & 0 & 0 \end{pmatrix} = \begin{pmatrix} 0 & 0 & 0 \\ C_4 & A_2 C_5 & 0 \\ 0 & 0 & 0 \end{pmatrix} \begin{pmatrix} 1 & 1 & 1 \\ 0 & \bar{U}_{C_5 C_6} & A_2^T C_6 (C_6 - C_4) \\ 0 & 0 & 0 \end{pmatrix}$$

$$\begin{pmatrix} 0 & 0 & 0 \\ 0 & 0 & 0 \\ C_7 C_8 C_9 \end{pmatrix} = \begin{pmatrix} 0 & 0 & 0 \\ 0 & 0 & 0 \\ C_7 & C_8 & C_9 \end{pmatrix} \begin{pmatrix} 1 & 1 & 1 \\ 0 & 1 & 1 \\ 0 & 0 & \bar{U}_{C_7 C_8 C_9} \end{pmatrix}$$

$$y_G = A_{GV} A_{VV}^{-1} z_V + A_{GG} w_G$$

eşitliği uygulanarak $1500^3 \times 1500$ boyutundaki kovaryans matrisi çözülerek koşullu simülasyon sağlanmıştır. Elde edilen tenor sonuçları Şekil 3'de blok diyagram, ve kat tenör dağılımı olarak gösterilmektedir.

SONUÇLAR

AÜM yönteminin en büyük avantajı koşullandırmayı simülasyonla birlikte simültane olarak gerçekleştirmesi, uygulanmasının basit olması, ayrıca kovaryans fonksiyonlarının ve kullanılan anizotropilerin özel yapılarıyla sınırlı olmamasıdır. Ancak uygulamada bu yöntem simülasyon sonuçlarını depolama ve zaman sorunu nedenleriyle sınırlıdır ve bundan dolayı da ancak küçük-orta boyuttaki gridlere uygulanabilmektedir. Genel olarak AÜM yönteminin uygulama limiti yaklaşık olarak 1000 adet grid lokasyonundan daha azdır.

Çalışmada AÜM yöntemine alternatif olarak kullanılan HAY yönteminde grid lokasyonları arasındaki kovaryans matrisi, simülasyon grid noktalarının her

bir alt bölümü için elde edilerek büyük boyutlardaki gridlerin simülasyonunun sağlandığı gösterilmiştir. 400×400 kovaryans matrisinden oluşan simülasyon uygulaması, alt/üst üçgensel matris tekniği ve halka ayrışım tekniği kullanarak, çözülerek yöntemler karşılaştırılmış ve $1500^3 \times 1500$ kovaryans matrisinden oluşan alt/üst üçgensel matris tekniğiyle aynınlama. ya.cak boyutlarda, olan simülasyon, önerilen halka ayrışım tekniğiyle çözülmüştür.

DEĞİTLEN BELGELER

Alabert,, E, 1987,, The practise of fast conditional simulations through the LU decomposition of the covariance matrix; Mathematical Geology,, v. 19, no. 5,, 369-386.

Anderson, F.W. and Fuller, K.R., 1992, Rings and categories of modules: Second Edition,, Graduate texts in mathematics, Springer-Verlag New York. Inc., no. 13.

Davis, M., 1987a, Production of conditional simulations via. the LU decomposition, of the covariance matrix: Mathematical. Geology, v. 19 , no. 2, 91-98,

Davis, ML, 1987Ib, Generating large stochastic simulations-the matrix polynomial approximation method: Mathematical Geology, v. 19, no. 2, 99-108.

Deutsch, C.V., and Journel, A.G.,, 1998, GSLIB, Geostatistical Software Library and User's Guide: Second Edition, Oxford University Press, New York, 369 s.

Dowd, P.A., 1992,, A review of recent developments in geostatistics: Computers and Geosciences,v. 17, no. 10,1481-1500.

Dowd, P.A. a&d Saraç., C, 1993, An extension of the LU decomposition method of simulation, in Geostatistical Simulations, eds: P.A. Dowd and M. Armstrong: Kluwer Academic Publishers., The Netherlands., 23-36..

- Gomez-Hernandez, XX and Srivastava, R.M., 1990.» ISIM3D: an ANSI-C three-dimensional multiple indicator conditional simulation program: Computer and Geosciences, v. 16,, no. 4, 395-440.
- Journel, A.G. and Alabert, F., 1989, Non-Gaussian data expansion in the earth science: Terra Nova,v. 1, 123-134.
- Journel, A.G. and Alabert, F., 1990, New method for reservoir mapping:: Journal of Petroleum Technology, v. 42,, no. 2,, 212-218..
- Kaseli, F., 1982, Modules and rings: London Mathematical Society, Academic Press Inc., England.
- Saraç, C. and Tercan, A.E., 1992, A geostatistical case study of the Kizilyuksek-Yataardic chromium orebody: The first international symposium on Eastern Mediterranean Geology,, Çukurova. University, Adana, Turkey, 219-229.,
- Suro-Peiez, V. and Journel, A.G., 1990, Stochastic simulation of lithofacies and improved sequential indicator approach: Proc. Second European Conference on the Mathematics of Oil Recovery (ECMOR), Publ. Technip, Paris, 3-10.
- Tercan, A.E. and Saraç, C., 2000, Spatial variability of Cr_2O_3 % in Kizilyuksek-Yataardic chromium deposit (Adana., Turkey): International Geology Review (in press)..